

А. А. ЗЕВИН, И. Г. ПАДВА

## ОБРАЩЕНИЕ ПРЕОБРАЗОВАНИЯ ЛАПЛАСА В ЗАДАЧАХ НАСЛЕДСТВЕННОЙ ТЕОРИИ УПРУГОСТИ

Изображение по Лапласу решения квазистатической задачи наследственной теории упругости можно получить на основании принципа соответствия [1]. В простейших случаях оригинал может быть найден аналитически; в общем случае применяются численные методы обращения, использующие значения изображения при некоторых дискретных значениях параметра преобразования  $p_i$ .

Если свойства среды описываются экспоненциальными ядрами и изображение  $\bar{\Phi}(p)$  известно в аналитической форме, то значения  $\bar{\Phi}(p_i)$  могут быть вычислены с необходимой точностью и серьезных затруднений при переходе к оригиналам, вообще говоря, не возникает. Однако, во многих практически важных случаях зависимость решения задачи теории упругости от констант материала в явном виде не известна, но задача может быть решена численно. Тогда значения  $\bar{\Phi}(p_i)$  могут быть получены с ограниченной точностью, так как определяются из численного решения задачи теории упругости с константами материала, зависящими от  $p_i$ .

Эффективность ряда методов численного обращения исследовал Кост [2]. Большинство методов оказались крайне чувствительны к точности, с которой известны значения  $\bar{\Phi}(p_i)$ . Наилучший результат получен при применении метода наименьших квадратов Шепери [1], который основан на приближении решения в оригиналах линейной комбинацией экспоненциальных функций.

Если свойства среды описываются слабо сингулярными ядрами, при численном обращении могут возникнуть существенные трудности. Метод Шепери становится очень чувствительным к точности, с которой задано изображение в узловых точках, что показано на примере в § 4. Более эффективен метод аппроксимаций А. А. Ильюшина [3, 4], однако он приспособлен к случаю, когда свойства среды описываются одним оператором.

В настоящей статье полученное ранее [5] интегральное представление функций дробно-экспоненциальных операторов распространяется на операторы более общего вида и на примерах иллюстрируется его эффективность. Развиты два метода численного обращения преобразования Лапласа, основанные на разложении решения по интегралам от дробно-экспоненциальных функций. Методы применимы к решению задач для анизотропных или кусочно-неоднородных тел, свойства которых описываются несколькими независимыми операторами.

§ 1. Пусть свойства в общем случае анизотропного или кусочно неоднородного тела описываются операторами

$$\tilde{G}_k = G_{k0} [1 - \Gamma_k^*] \quad (k = 1, \dots, n) \quad (1.1)$$

где  $G_{k0}$  — константы,  $\Gamma_k^*$  — операторы типа свертки с ядрами вида

$$\Gamma_k(t) = \sum_{i=1}^m \gamma_{ki} \mathcal{E}_i(-\vartheta_{ki}, t), \quad -1 < \alpha < 0, \quad \vartheta_{ki} > 0 \quad (1.2)$$

$\mathcal{E}_i(-\vartheta, t)$  — дробно-экспоненциальная функция, введенная Ю. Н. Работновым [6].

Выбор ядер специального вида по существу не является ограничением. Дробно-экспоненциальные функции хорошо отвечают опытным данным, и для описания экспериментальных кривых  $\Gamma_k(t)$  достаточно в представлении (1.2) удержать от 1 до 3 слагаемых.

Изображение по Лапласу функции  $\mathcal{E}_i(-\vartheta, t)$

$$L[\mathcal{E}_i(-\vartheta, t)] = \int_0^\infty e^{-pt} \mathcal{E}_i(-\vartheta, t) dt = \omega(p) = \frac{1}{p + \vartheta}, \quad \vartheta = 1 + \alpha \quad (1.3)$$

Пусть  $\varphi(t)$  — некоторая величина, характеризующая напряженно-деформированное состояние в фиксированной точке тела, причем решение квазистатической упругой задачи имеет вид

$$\varphi_0(t) = F_0[G_{10}, \dots, G_{n0}]y(t) \quad (1.4)$$

где  $y(t)$  — известная функция, пропорционально которой изменяются внешние воздействия. Тогда на основании принципа соответствия [1] изображение  $\varphi(t)$

$$\tilde{\varphi}(p) = F_0 \left[ G_{10} \left( 1 - \sum_{i=1}^m \frac{\gamma_{ii}}{p + \vartheta_{ii}} \right), \dots, G_{n0} \left( 1 - \sum_{i=1}^m \frac{\gamma_{ni}}{p + \vartheta_{ni}} \right) \right] \tilde{y}(p) \quad (1.5)$$

В работе [5] получено интегральное представление оригинала выражения (1.5), которое при  $y(t) = 1$  (нагрузка постоянна) приводится к виду

$$\begin{aligned} \varphi(t) = F_0[G_{10}, \dots, G_{n0}] = & \frac{1}{\sqrt{\pi}} \left[ \int_0^1 \exp(-u^{-\frac{1}{\alpha}} t) \frac{R(u) du}{u} + \right. \\ & \left. + \int_0^1 \exp(-u^{-\frac{1}{\alpha}} t) \frac{W(u) du}{u} \right] \end{aligned} \quad (1.6)$$

Здесь  $G_{k0} = G_{k0} \left[ 1 - \sum_{i=1}^m \frac{\gamma_{ki}}{\vartheta_{ki}} \right]$ ;  $R(u)$  и  $W(u)$  — мнимые части функций, получаемые из решения задачи теории упругости с комплексными константами материала, зависящими от действительного параметра  $u$ :

$$R(u) = \operatorname{Im} F_0[B_1(u), \dots, B_n(u)]; \quad W(u) = \operatorname{Im} F_0[D_1(u), \dots, D_n(u)] \quad (1.7)$$

$$\begin{aligned} B_k(u) &= G_{k0} \left[ 1 - \sum_{i=1}^m \frac{\gamma_{ki}}{u \exp(-iv\pi) + \theta_{ki}} \right] \\ D_k(u) &= G_{k0} \left[ 1 - \sum_{i=1}^m \frac{\gamma_{ki} u}{\exp(-iv\pi) + u\theta_{ki}} \right] \end{aligned} \quad (1.8)$$

Условия, при которых справедлива формула (1.6), удобно определить следующим образом. Введем переменную  $\omega(p) = 1/(p^\alpha + \theta)$  ( $\theta > 0$  произвольно). Тогда функция  $F_0$  из (1.5) может быть представлена в виде

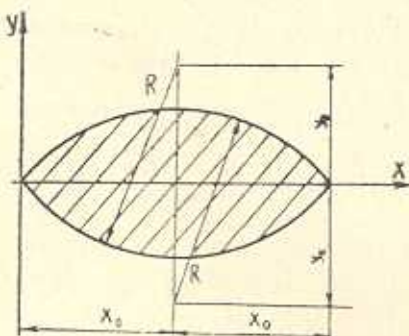
$$F_0 \left[ G_{10} \left( 1 - \sum_{i=1}^m \frac{\gamma_{1i}\omega}{1 - (\theta - \theta_{1i})\omega} \right), \dots, G_{n0} \left( 1 - \sum_{i=1}^m \frac{\gamma_{ni}\omega}{1 - (\theta - \theta_{ni})\omega} \right) \right] = F(\omega) \quad (1.9)$$

Можно показать, что представление (1.6) справедливо, если функция  $F(\omega)$  аналитична в заштрихованной области, показанной на фиг. 1.

В [5] интегральное представление (1.6) получено при несколько более жестких ограничениях.

Выражение (1.6) позволяет эффективно вычислять  $\Phi(t)$ , используя формулы численного интегрирования. Пусть  $u_j$  ( $j = 1, \dots, r$ ) — узлы выбранной квадратурной формулы, приведенные к интервалу  $[0, 1]$ . Значения функций  $R(u)$  и  $W(u)$  в узловых точках можно найти, заменив в решении задачи теории упругости константы  $G_{k0}$  величинами  $B_k(u_j)$  и выделяя минимую часть полученных выражений.

Можно показать, что подынтегральные функции в (1.6) непрерывны, поэтому вычисление квадратур не представляет затруднений. Сходимость численной квадратуры при увеличении числа узлов иллюстрируется на примерах в § 4.



Фиг. 1.

Представление (1.6) можно обобщить на случай, когда свойства тела описываются ядрами вида

$$R_k(t) = e^{-\theta t} \sum_{i=1}^m \gamma_{ki} \Theta_i(-\theta_{ki}, t), \quad -1 < z < 0, \quad \theta_{ki} > 0 \quad (1.10)$$

Каждое слагаемое в (1.10) представляет собой резольвенту ядра  $\exp(-\theta t) t^\alpha / \Gamma(\alpha + 1)$ , предложенного А. Р. Ржаницыным [7]. Ядра вида (1.10) и интегралы от них протабулированы [4].

Повторяя выкладки работы [5] и используя теорему смещения изображения [8], получим

$$\varphi(t) = F_0[G_{1\infty}, \dots, G_{n\infty}] - \frac{1}{\sqrt{\pi}} \left[ \int_0^1 \exp[-(\rho + u)^{-\frac{1}{\gamma}}] \frac{R(u) u^{\frac{1}{\gamma}-1}}{(u^{\frac{1}{\gamma}} + \rho)} du + \right. \\ \left. + \int_0^1 \exp[-(\rho + u)^{-\frac{1}{\gamma}}] \frac{W(u) du}{(1 + \rho u^{1/\gamma}) u} \right] \quad (1.11)$$

Здесь  $G_{k\infty} = G_{k0} \left[ 1 - \sum_{i=1}^m \frac{\gamma_{ki}}{p_i + \theta_{ki}} \right]$ , а функции  $R(u)$  и  $W(u)$  определяются выражениями (1.7).

§ 2. При численном решении задачи теории упругости для определения  $R(u_j)$  и  $W(u_j)$  необходимо решить  $2r$  задач с комплексными константами материала, равными  $B_k(u_j)$  и  $D_k(u_j)$ ,  $j = 1, \dots, r$ . Это может вызвать определенные трудности, так как в существующих программах для решения задач теории упругости обычно предусматривается, что константы материала — действительные числа.

Приведем два метода численного обращения преобразования Лапласа, использующие значения изображения в узлах на действительной положительной полуоси. Эти значения могут быть найдены из решения задачи теории упругости с действительными константами материала. Методы основаны на разложении оригинала по дробно-экспоненциальному функциям и оказываются эффективными, если свойства наследственно-упругого тела описываются слабо сингулярными ядрами.

Представим решение наследственной задачи в виде

$$y(t) = y(t) + \int_0^t \Theta(z) y(t-z) dz \quad (2.1)$$

где  $y(t)$  — известная функция, а изображение  $\bar{\Theta}(p)$  функции  $\Theta(t)$  может быть найдено в некоторых узлах  $p_i$ . Для вычисления выражения (2.1) достаточно найти  $\Theta(t)$ .

Если ядра операторов, фигурирующих в исходных уравнениях состояния, имеют особенности порядка  $\alpha$ , то функция  $\Theta(t)$  имеет особенность того же порядка.

Рассмотрим сначала случай, когда  $-0.5 < \alpha < 0$ .

Будем разыскивать приближение  $\Theta(t)$  в виде

$$\Theta(t) \approx \Theta_N(t) = \sum_{k=1}^N \gamma_k \bar{\Theta}_k(-\theta_k, t) \quad (2.2)$$

где  $\theta_k$  — заданные параметры,  $\gamma_k$  — неопределенные коэффициенты. Параметр  $\alpha$  в выражении (2.2) положим равным порядку особенности функции  $\Theta(t)$ .

Коэффициенты  $\gamma_k$  определим из условия минимума квадратичной погрешности в пространстве оригиналов

$$\varepsilon^2 = \int_0^\infty \left| \Theta(t) - \sum_{k=1}^N \gamma_k \Theta_k(-\vartheta_k, t) \right|^2 dt \quad (2.3)$$

Приравнивая нулю производные по  $\gamma_k$  выражения (2.3), получим систему уравнений

$$\sum_{k=1}^N \delta_{ik} \gamma_k = b_i \quad (i = 1, \dots, N) \quad (2.4)$$

Здесь

$$\delta_{ik} = \int_0^\infty \Theta_k(-\vartheta_i, t) \Theta_k(-\vartheta_k, t) dt \quad (2.5)$$

$$b_i = \int_0^\infty \Theta(t) \Theta_i(-\vartheta_i, t) dt \quad (2.6)$$

Подынтегральные функции в (2.5) и (2.6) при  $t = 0$  имеют особенность порядка  $2\alpha > -1$ , поэтому интегралы в нуле сходятся.

Так как решение упруго-наследственной задачи стремится к конечному пределу при действии постоянной нагрузки, интеграл

$$I = \int_0^\infty \Theta(t) dt < \infty \quad (2.7)$$

Из последнего выражения и монотонного стремления функций  $\Theta_k(-\vartheta, t)$  к нулю при  $t \rightarrow \infty$  следует сходимость интегралов (2.5), (2.6) на бесконечности.

Для вычисления коэффициентов  $\delta_{ik}$  воспользуемся интегральным представлением дробно-экспоненциальной функции, которое является частным случаем представления ядра аналитической функции дробно-экспоненциального оператора, полученного в [5]:

$$\Theta_k(-\vartheta, t) = \frac{\sin \nu \pi}{\pi} \int_0^\infty \frac{x^\nu \exp(-xt)}{x^2 + 2\vartheta_k x^\nu \cos \nu \pi + \vartheta_k^2} dx \quad (2.8)$$

Подставляя (2.8) в (2.5) и учитывая, что внутренний интеграл после изменения порядка интегрирования равен изображению по Лапласу функции  $\Theta_k(-\vartheta_k, t)$ , получим

$$\delta_{ik} = \int_0^\infty u^\nu f(u) du; \quad f(u) = \frac{\lambda \sin \nu \pi}{\pi (u + \vartheta_k) (u^2 + 2\vartheta_k u \cos \nu \pi + \vartheta_k^2)}, \quad \lambda = \frac{1}{\nu} \quad (2.9)$$

причем при  $0.5 < \nu < 1$  функция  $z^{\lambda+1} f(z)$  стремится к нулю, когда  $|z|$  стремится к нулю и к бесконечности.

Интеграл (2.9) может быть взят с помощью вычетов. Следуя схеме интегрирования, приведенной в [9], найдем

$$\delta_{ik} = - \frac{\sin \nu\pi (\theta_i^k + \theta_k^i)}{\nu \sin \lambda\pi (\theta_i^2 + \theta_k^2 - 2\theta_i \theta_k \cos \nu\pi)} \quad (2.10)$$

Аналогично, подставляя (2.8) в (2.6), изменения порядок интегрирования и учитывая, что внутренний интеграл есть преобразование по Лапласу функции  $\Theta(t)$  с действительным параметром преобразования, будем иметь

$$b_i = \frac{\sin \nu\pi}{\pi} \int_0^\infty \frac{x^i \bar{\Theta}(x) dx}{x^{2r} + 2\theta_i x^r \cos \nu\pi + \theta_i^2} \quad (2.11)$$

Таким образом, параметры  $b_i$  выражаются через интегралы по действительной положительной полуоси от известного изображения функции  $\Theta(t)$ . При численном интегрировании удобно выражение (2.11) преобразовать к следующему:

$$b_i = \int_0^1 y^i f_1(y) dy + \int_0^1 y^{1-i} f_2(y) dy \quad (2.12)$$

$$f_1(y) = \frac{\sin \nu\pi \bar{\Theta}_0(y)}{\nu\pi (y^2 + 2\theta_i y \cos \nu\pi + \theta_i^2)}$$

$$f_2(y) = \frac{\sin \nu\pi \left[ \frac{1}{y} \bar{\Theta}_0\left(\frac{1}{y}\right) \right]}{\nu\pi (1 + 2\theta_i y \cos \nu\pi + \theta_i^2)}, \quad \bar{\Theta}_0(z) = \bar{\Theta}\left(\frac{1}{z}\right)$$

В случае, когда изображение  $\bar{\Theta}(p)$  в явном виде не известно, для определения значений  $\bar{\Theta}_0(y)$  и  $\bar{\Theta}_0\left(\frac{1}{y}\right)$  в узлах необходимо решить  $2r$  задач теории упругости с действительными константами материала ( $r$  — число узлов квадратурной формулы). Если, например, свойства тела описываются операторами вида (1.1), (1.2), то функция  $\Theta_0(y)$  в узлах  $y_j^{(1)}$  определяется из решения  $r$  упругих задач для тела с константами материала, равными

$$G_{kj}^{(1)} = G_{k0} \left( 1 - \sum_{i=1}^m \frac{\gamma_{ki}}{y_j^{(1)} + \theta_{ki}} \right) \quad (j = 1, \dots, r) \quad (2.13)$$

Аналогично, для определения  $\bar{\Theta}_0\left(\frac{1}{y_j^{(2)}}\right)$  необходимо решить  $r$  упругих задач, в которых упругие константы принимают следующие значения:

$$G_{kj}^{(2)} = G_{k0} \left( 1 - \sum_{i=1}^m \frac{\gamma_{ki} y_j^{(2)}}{1 + \theta_{ki} y_j^{(2)}} \right) \quad (j = 1, \dots, r) \quad (2.14)$$

В выражениях (2.13), (2.14)  $y_j^{(1)}$  и  $y_j^{(2)}$  — узлы (вообще, различные) квадратурных формул, которые используются для интегрирования выражений с весами  $y^k$  и  $y^{1-k}$ .

§ 3. Изложенный метод неприменим, если порядок особенности функции  $\Theta(t)$   $\alpha < -0.5$ , так как интегралы (2.5), (2.6) расходятся.

Приведем метод численного обращения, применимый при любых  $\alpha \in (-1, 0]$ .

Будем разыскивать приближение функции  $\Theta(t)$  в виде (2.2). Коэффициенты  $\tau_k$  определим из условия минимума квадратичной погрешности в пространстве изображений.

Представим функцию  $\bar{\Theta}_0(\xi) = \bar{\Theta}(\xi^{-1})$  в виде

$$\bar{\Theta}_0(\xi) \approx \sum_{n=1}^N A_n \vartheta_n(\xi) \quad (3.1)$$

где

$$\vartheta_n(\xi) = \sum_{s=1}^n \frac{C_{ns}}{\xi + \vartheta_s}, \quad \vartheta_s = \exp(s-1) \quad (3.2)$$

— полная на интервале  $[0, \infty]$  ортонормированная система функций. Значения параметров  $C_{ns}$  приведены в [11].

Коэффициенты  $A_n$  определяются из выражения

$$A_n = \int_0^\infty \Theta_0(\xi) \vartheta_n(\xi) d\xi = \int_0^1 \left[ \bar{\Theta}_0(y) \sum_{s=1}^n \frac{C_{ns}}{y + \vartheta_s} + \right. \\ \left. + \frac{1}{y} \bar{\Theta}_0' \left( \frac{1}{y} \right) \sum_{s=1}^n \frac{C_{ns}}{1 + y \vartheta_s} \right] dy \quad (3.3)$$

Интеграл (3.3) можно взять численно. При этом для определения коэффициентов  $A_n$  используются значения изображения  $\bar{\Theta}_0(\xi)$  в точках  $\xi_s = y_s$  и  $\xi_s = 1/y_s$  ( $y_s$  — узлы выбранной квадратурной формулы).

Возвращаясь к переменной  $p$ , получим

$$\bar{\Theta}(p) \approx \sum_{k=1}^N \frac{\tau_k}{p + \vartheta_k}, \quad \tau_k = \sum_{n=k}^N A_n C_{nk} \quad (3.4)$$

Функции  $(p + \vartheta_k)^{-1}$  представляют собой изображения дробно-экспоненциальных функций. Переходя к оригиналам, получим приближение (2.2).

§ 4. Для иллюстрации изложенных методов рассмотрим задачу об изгибе длинной равномерно нагруженной прямоугольной пластинки, лежащей на упругом основании и шарнирно опертой по длинным краям [12].

Изгибающий момент в середине короткой стороны упругой пластинки

$$M = \frac{1}{8} q l^2 u_2(\tilde{z}), \quad u_2(\tilde{z}) = \frac{2 \sin \tilde{z} \sin \tilde{z}}{\tilde{z}^2 (\cosh 2\tilde{z} + \cos 2\tilde{z})}, \quad \tilde{z} = \frac{l}{2} \sqrt{\frac{3k_0(1-v_0^2)}{E_0 h_0^3}} \quad (4.1)$$

где  $l$  и  $h_0$  — ширина и толщина пластины,  $q$  — интенсивность нагрузки,  $k_0$  — коэффициент постели.

Вычислялась функция  $\varphi(t) = M(t)/M(0)$ , представляющая собой отношение решения с учетом ползучести к решению упругой задачи. При расчетах приняты следующие числовые значения параметров, характеризующих размеры пластины и упругие свойства материала:  $l = 0.25$  м,  $h_0 = 0.01$  м,  $E_0 = 1910$  МПа,  $v_0 = 0.25$ ,  $k_0 = 29.4$  МПа/м. Реологические параметры пластины и основания варьировались. Выполнено несколько вариантов расчета

1°. При решении задачи методом, изложенным в § 1, операторы, описывающие упруго-наследственные свойства пластины и основания приняты в виде

$$\tilde{E} = E_0(1 - \Gamma_1), \quad \tilde{k} = k_0(1 - \Gamma_2)$$

$$\Gamma_k(t-\tau) = \gamma_k \exp[-\gamma_k(t-\tau)] \Theta_{\pm}(-\theta_k, t-\tau) \quad (4.2)$$

Числовые значения реологических параметров:

$$\gamma_1 = 1.16, \theta_1 = 1.54, \gamma_2 = 0.3, \theta_2 = 1, \alpha = -0.8 \text{ (единица времени } 10 \text{ сут).}$$

Для вычисления  $\varphi(t)$  на основе представления (1.11) находим

$$R(u) = \operatorname{Im} \frac{u_2[\tilde{z}(B_1(u), B_2(u))]}{u_2[\tilde{z}(E_0, k_0)]}, \quad W(u) = \operatorname{Im} \frac{u_2[\tilde{z}(D_1(u), D_2(u))]}{u_2[\tilde{z}(E_0, k_0)]} \quad (4.3)$$

где функции  $B_k(u)$  и  $D_k(u)$  определяются в соответствии с (1.8). При вычислении интегралов в выражении (1.11) использовалась квадратурная формула Гаусса. Число узлов  $r$  варьировалось от 4 до 14. Результаты расчетов приведены в табл. 1.

Таблица 1

$r \backslash t$	0.10	0.25	0.75	1.00	3.00	10.0	15.0
4	0.14383	0.07141	0.00574	-0.00817	-0.05672	-0.09137	-0.09759
8	0.13301	0.07049	0.00613	-0.00902	-0.05753	-0.09047	-0.09627
12	0.13200	0.07087	0.00608	-0.00899	-0.05753	-0.09048	-0.09627
14	0.13192	0.07089	0.00609	-0.00899	-0.05753	-0.09048	-0.09627

Как видно, расхождение при  $r = 12$  и  $r = 14$  не превосходит 0.00008, что дает основание считать верными 4 знака после запятой в последней и предпоследней строках таблицы. Максимальное расхождение при  $r = 4$  и  $r = 14$  составляет 0.019.

Отметим, что при численном интегрировании обычно используются квадратурные формулы с положительными коэффициентами, поэтому метод, основанный на представлениях (1.6), (1.11) мало чувствителен к точности, с которой заданы значения  $R(u)$  и  $W(u)$ .

2°. Приведем результаты решения рассмотренной задачи методами численного обращения преобразования Лапласа, изложенными в § 2 и § 3.

При решении методом § 2 реологические операторы приняты в виде (4.2) при  $\rho = 0$  и  $\alpha = -0.375$ , то есть свойства пластики и основания описываются дробно-экспоненциальными функциями.

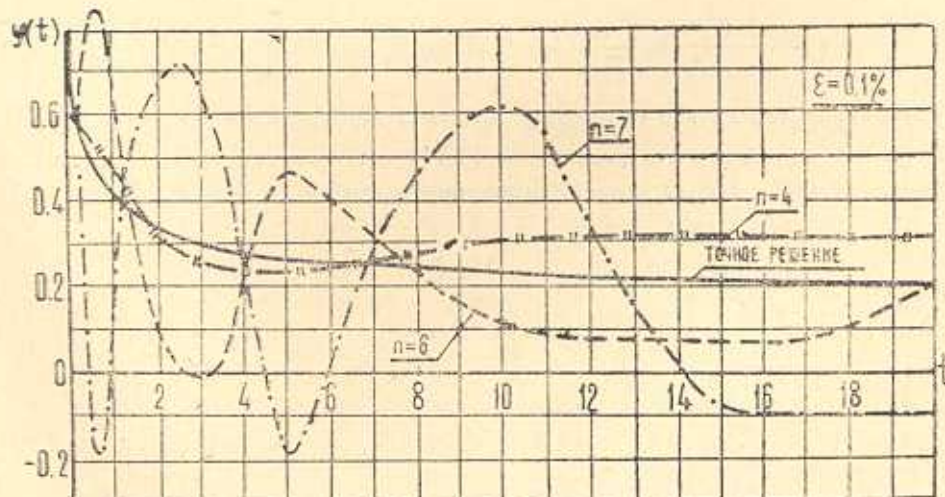
Изображение функции  $\Theta(t)$

$$\bar{\Theta}(p) = \frac{u_2[\xi(\bar{E}(p), \bar{k}(p))]}{u_2[\xi(\bar{E}_0, \bar{k}_0)]} - 1$$

$$\bar{E}(p) = E_0[1 - \gamma_1/(p + \vartheta_1)], \quad \bar{k}(p) = k_0[1 - \gamma_2/(p + \vartheta_2)] \quad (4.4)$$

Приближение  $\Theta_N(t)$  разыскивалось в виде разложения по четырем функциям  $\tilde{\Theta}_k(-\vartheta_k, t)$  с параметрами  $\vartheta_k$ , равными 0.5, 1, 1.5, 2. При вычислении каждого из интегралов (2.14) применялась квадратурная формула наивысшей алгебраической степени точности [10], использующая 6 узлов. Была исследована чувствительность метода к точности, с которой известно изображение. Для этого на значения функций  $\Theta_0(y)$  и  $\Theta_0\left(\frac{1}{y}\right)$ , которые вычислялись на ЭВМ с точностью 6 значащих цифр, налагалась относительная погрешность  $\pm \epsilon$ , различная по знаку для различных узлов. Величина  $\epsilon$  варьировалась от 0 до 0.06.

Результаты расчетов приведены на фиг. 2.



Фиг. 2.

Сплошная линия соответствует решению, полученному с точностью 4—5 значащих цифр методом численного интегрирования, изложенным в § 1.

При  $\varepsilon = 0$  максимальная погрешность метода численного обращения преобразования Лапласа составила 0.0075. Соответствующая кривая на графике сливается со сплошной линией.

Как видно из графика, даже при очень большой погрешности  $\varepsilon = \pm 6\%$  приближение в оригиналах оказалось удовлетворительным, особенно при  $t \leq 5$ .

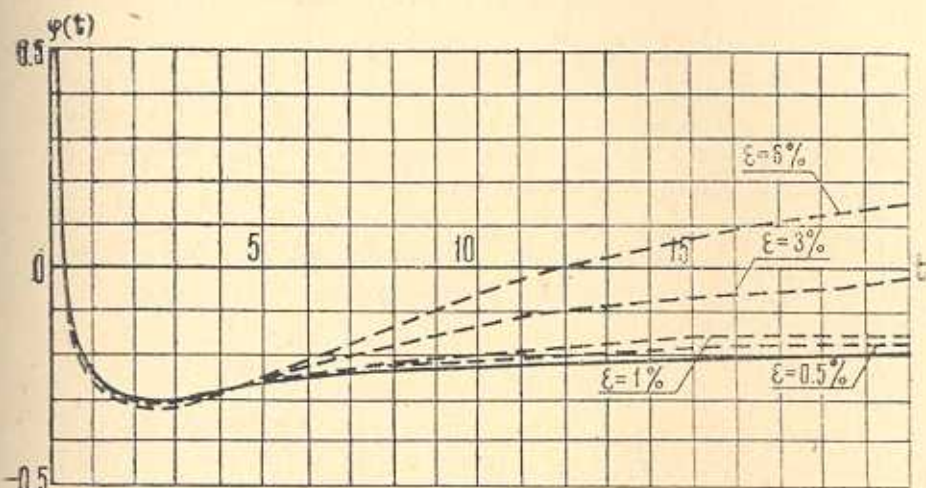
При решении задачи методом, изложенным в § 3, параметр  $\alpha$  принят равным  $-0.7$  и  $\rho = 0$ . Приближение функции  $\Theta(t)$  также разыскивалось в виде разложения по четырем дробно-экспоненциальным функциям, но с параметрами  $\theta_k = \exp(k-1)$ . Интегралы (3.3) вычислялись по формуле Гаусса с девятью узлами. Погрешность  $\varepsilon$ , налагаемая на значения функций  $\Theta_0(y)$  и  $\Theta_0(1/y)$ , варьировалась.

Метод оказался мало-чувствительным к величине  $\varepsilon$ .

При  $\varepsilon = 0$  максимальная и средняя абсолютные погрешности приближения функции  $\varphi(t)$  равнялись соответственно 0.026 и 0.017. При  $\varepsilon = \pm 6\%$  эти погрешности не увеличились.

Устойчивость метода объясняется тем, что процесс интегрирования при определении параметров  $A_k$  слаживает случайные по знаку погрешности, с которыми было задано изображение.

3°. Задача об изгибе пластинки была решена также методом коллокации, предложенным Шепери. Метод Шепери основан на разложении оригинала  $\varphi(t)$  по функциям  $A_k \exp(-\theta_k t)$ , причем параметры  $\theta_k$  полагаются заданными, а коэффициенты  $A_k$  определяются из системы линейных уравнений, правые части которой представляют собой значения изображения  $\varphi(p)$  в узлах  $\theta_k$  [1].



Фиг. 3.

При вычислениях основание пластинки было принято идеально упругим, параметры  $\rho$  и  $\alpha$  первого из операторов (4.2) равными 0 и  $-0.5$ .

Число узлов  $N$  варьировалось от 4 до 14. При каждом  $N$  узлы  $\theta_k$  распределялись в интервале  $[\theta_{min}, \theta_{max}]$  по закону арифметической прогрессии.

ции, геометрической прогрессии или в узлах полинома Чебышева, приведенных к рассматриваемому интервалу. Параметр  $\theta_{\text{min}}$  был принят равным 0.01, а  $\theta_{\text{max}}$  варьировался от 1 до 20.

На значения изображения в узлах налагалась относительная погрешность  $\pm \epsilon$ .

При  $\epsilon = 0$  и  $N = 14$  минимальная погрешность, с которой удалось получить приближение  $\varphi(t)$ , равнялась 3%. При  $\epsilon \geq 0.001$  во всех рассмотренных случаях были получены неудовлетворительные результаты.

На фиг. 3 приведены графики  $\varphi(t)$ , полученные методом, изложенным в § 1, с точностью до четырех верных знаков (сплошная линия) и методом Шепери при различных  $N$ .

Как видно, наилучший результат получен при  $N = 4$ , однако точность его невелика. При увеличении  $N$  точность приближения ухудшается.

Таким образом, если для описания свойств материала используются ядра с особенностью, обращение методом Шепери не может быть рекомендовано.

Северо-Западное отделение ВГПИ  
и НИИ «Энергосетьпроект»

Поступила 20 III 1978

А. А. Зевин, И. Г. Падва

ФУНДАМЕНТАЛЬНЫЙ ОПЕРАТОР ЧИСЛЕННОГО РЕШЕНИЯ ЗАДАЧИ ОБОГРЕВА  
И СОСТАВЛЕНИЯ ФУНКЦИИ ПРИМЕРЫ

### II. М. Ф. П. Ф. П. Г. М.

Կոտորակա-էքսպոնենցիալ օպերատորների ֆունկցիայի ինտեղրալ ներկայացմամբ տարածվել է ավելի ընդհանուր տեսքի օպերատորների վրա:

Զարգացվել են կառլասի ձևափոխության թվային գործածման երկու եղանակներ, որոնք հիմնված են լուծման ըստ կոտորակա-էքսպոնենցիալ ֆունկցիաների ինտեղրալների վերլաւման վրա:

Այդ եղանակները կիրառելի են անիզոտրոպ, կամ կտոր առ. կտոր անհամասներ մարմնի համար խնդիրների լուծման համար, եթե մարմնի հատկությունները նկարագրվում են մի բանի անկախ օպերատորներով:

Բերվում են օրինակներ:

## CONVERSION OF LAPLACE TRANSFORMATION IN THE PROBLEMS OF THE HEREDITARY ELASTICITY THEORY

A. A. ZEVIN, I. G. PADWA

### Summary

Integral representation of a fraction-exponential operator function is applied to an operator of a more general type.

A method of numerical conversion of the Laplace transformation based on integral expansion of the solution from fraction-exponential functions is developed.

Both methods may be used to solve problems for an anisotropic or lump-heterogeneous body, whose properties are described by several independent operators. Examples are given.

### ЛИТЕРАТУРА

1. Кристенсен Р. Введение в теорию вязкоупругости. М., «Мир», 1974.
2. Кост Т. Приближенное обращение преобразования Лапласа при анализе вязкоупругих напряжений. Ракетная техника и космонавтика, 1964, № 12.
3. Ильюшин А. А. Метод аппроксимаций для расчета конструкций по линейной теории термовязкоупругости. Механика полимеров, 1968, № 2.
4. Колтунов М. А. Ползучесть и релаксация. М., «Высшая школа», 1976.
5. Зевин А. А. О функциях дробно-экспоненциальных операторов в теории наследственной упругости. Прикл. механ., 1969, т. 5, в. 11.
6. Работнов Ю. Н. Равновесие упругой среды с последействием. ПММ, 1948, т. 12, в. 1.
7. Ржаницын А. Р. Некоторые вопросы механики систем, деформирующихся во времени. М.—Л., Гостехиздат, 1949.
8. Деч Г. Руководство к практическому применению преобразования Лапласа и Z-преобразования. М., «Наука», 1971.
9. Анто А. Математика для электро- и радиоинженеров. М., «Наука», 1965.
10. Крылов В. И., Шульцина Л. Т. Справочная книга по численному интегрированию. М., «Наука», 1966.
11. Яковлев Ю. С. Общий метод обращения интегральных преобразований Фурье, Лапласа, Ханкеля и Стильтеса функций класса  $L_2$ . Изв. АН СССР, Мех. тверд. тела, 1977, № 5.
12. Тимошенко С. П., Войновский-Критер С. Пластинки и оболочки. М., ГИФМА, 1963.